УДК 621.762.2:621.926

## ПЛАЗМЕННАЯ СФЕРОИДИЗАЦИЯ ПОРОШКОВ Al-Zn-Mg-Fe-Ni СПЛАВА ДЛЯ СЕЛЕКТИВНОГО ЛАЗЕРНОГО ПЛАВЛЕНИЯ

© 2024 г. А. О. Курышев<sup>1, \*</sup>, А. Н. Петрова<sup>1</sup>, И. Г. Бродова<sup>1</sup>, Д. Ю. Распосиенко<sup>1</sup>, В. В. Астафьев<sup>1</sup>, И. Г. Ширинкина<sup>1</sup>, С. И. Новиков<sup>1</sup>, С. А. Ильиных<sup>2</sup>

<sup>1</sup>Федеральное государственное бюджетное учреждение науки «Институт физики металлов имени М.Н. Михеева Уральского отделения Российской академии наук», Екатеринбург, Россия <sup>2</sup>Федеральное государственное бюджетное учреждение науки «Институт металлургии Уральского отделения Российской академии наук», Екатеринбург, Россия

\*E-mail: kuryshev61912@gmail.com Поступила в редакцию 02.05.2024 После доработки 13.05.2024 Принята к публикации 31.05.2024

Исследовано влияние технологических параметров комплексного метода получения порошка для 3D-печати нового алюминиевого сплава никалина, включающего диспергирование в шаровой мельнице и последующую сфероидизацию частиц при плазменной обработке.

**DOI:** 10.31857/S0367676524090071, **EDN:** OEBENZ

#### **ВВЕДЕНИЕ**

По всему миру активно разрабатываются технологии аддитивного производства широкого спектра материалов. Особенный интерес для исследователей и промышленности представляет 3D-печать металлических материалов порошковым методом селективного лазерного плавления (СЛП). В России одним из основных производителей материалов на Al основе для 3D-печати является Центр аддитивных технологий на базе ИЛМиТ компании РУСАЛ. Институтом разработана линейка из восьми алюминиевых сплавов, среди которых наибольший интерес представляет сплав системы Al-Si-Ni для деталей, работающих при повышенных температурах (порядка 250 °C). Он может применяться как после отжига, так и после закалки и старения, обладает хорошей технологичностью в процессе СЛП и высоким уровнем механических характеристик ( $\sigma_{\rm B} \sim 360$  МПа,  $\delta \sim 11\%$ ) [1, 2]. Также ведущими разработчиками в области порошков для аддитивных технологий является ФГУП «Всероссийский научно-исследовательский институт авиационных материалов» Национального исследовательского центра «Курчатовский институт» [3] и OAO «Всероссийский институт легких сплавов» [4]. Исследования институтов направлены на развитие работ по сверхбыстрой кристаллизации Al сплавов, легированных Mn, Cr, Ti, Zr, которая реализуется в методе СЛП. К производимому порошку предъявляются такие требования как сферическая форма частиц и распределение размера частиц

в пределах от 10 до 60 мкм. Эти характеристики являются ключевыми и от них зависят текучесть порошка, равномерность распределения и плотность слоя, необходимое количество подводимой энергии для плавления частиц порошка, шероховатость получаемой поверхности. Кроме того, порошки должны иметь высокую степень химической очистки металла от примесей и окислов и высокую однородность химического состава.

Авторами [5] разработана методика получения порошка с гранулометрическим составом от 10 до 60 мкм из сплава АК9ч, а также продемонстрирована возможность получать компактные деталей со структурами, нетипичными для традиционных технологий литья.

Методы изготовления порошков играют важную роль в развитии аддитивных технологий.

Компания ООО «Гранком», которая является дочерним предприятием ПАО «Русполимет», получает порошки для 3D принтеров методом атомной атомизации [6–8]. При распылении методом газовой атомизации получается фракция 10–60 мкм металлического порошка, характеристики которого полностью соответствуют требованиям, выдвигаемым ведущими производителями 3D-принтеров. Кроме газовой атомизации, для получения порошков для СЛП, широко применяется метод водяной атомизации, основанный на распылении струей воды при высоких скоростях нагретого до температур плавления металлического материала и последующего сверхбыстрого затвердевания

мелких частицы порошка [9–11]. Кроме этого, активно развивается метод плазменной атомизации с вращающимся электродом, заключающийся в быстром охлаждении капель металла после плазменной обработки [12,13]. В настоящее время наиболее распространенным материалом на основе алюминия для аддитивных технологий, например, для СЛП, являются порошки Al-Si сплавов (АК12 и АК9) и сплавы системы Al-Si-Cu-Mg (типа АК6) [14, 15].

Тем не менее появление алюминиевых сплавов нового поколения ставит вопрос о расширении линейки сплавов, получаемых проволочными и порошковыми технологиями [16, 17]. Так были разработаны сплавы типа никалин на основе системы Al-Zn-Mg, в которых железо является не вредной примесью, а легирующим компонентом, образующим вместе с никелем Fe-Ni эвтектику [18]. Сплав также практически не содержит меди, что положительно влияет на его стоимость, а наличие эвтектики улучшает его литейные свойства. Как и сплавы системы Al-Mg-Zn никалин является термически упрочняемым сплавом и может быть использован как в литом, так и в деформированном состоянии, что расширяет область его применения по сравнению с высокопрочными деформируемыми сплавами типа В95, А7075 [18,19]. Все это делает никалин привлекательным для использования в аддитивных технологиях, но отсутствие порошка соответствующего состава не позволяют реализовать их на практике. В связи с этим, задача разработки технологии получения такого порошка является актуальной. Целью данной работы является апробация комплексного метода получения порошкового никалина диспергированием стружки сплава в шаровой мельнице с последующей сфероидизацией частиц при плазменной обработке.

#### МАТЕРИАЛЫ И МЕТОДЫ

В качестве исходного материала для порошка использовали стружку, полученную из прутка сплава никалин с химическим составом (мас. %) Al-2.95Mg-7.22Zn-0.57Ni-0.52Fe-0.1Si-0.21Zr. Порошок получали диспергированием в вибрационной шаровой мельнице. Стружку загружали в стальные ступки объемом 1л. Помол порошка проводили при помощи мелющих шаров в атмосфере аргона при давлении 0.1 МПа. Масса мелящих шаров составляла 1.95 кг. В вибрационной шаровой мельнице было получено 10 партий порошка. При помоле изменяли такие параметры как время помола, которое варьировали от 1 до 24 часов, а также отношение массы загружаемой стружки сплава к массе мелящих шаров – К. После обработки в шаровой мельнице полученный порошок в некоторых случаях просеивали через сита с размером ячейки 100 мкм для устранения грубых частиц.

Для осуществления сфероидизации порошка никалина использовали многофункциональную плазменную установку МАК-100 (разработка Института металлургии УрО РАН).

Анализ размеров и формы частиц порошков проводили с помощью оптического микроскопа MC-2-ZOOM. Расчет размера частиц осуществлялся в программе Fiji, которая переводит оптическое изображение в двухбитное черно-белое изображение и автоматически определяет размер частиц по их площади. Статистическую обработку полученных данных проводили с помощь программы Excel. Определяли средний линейный размер (максимальный размер частиц) и среднею толщину (средний минимальный размер), фактор формы (отношение среднего максимального размера к среднему минимальному размеру) и строили распределение частиц по размеру (гранулометрический состав). В качестве характеристик гранулометрического состава были приняты среднеквадратичное отклонение (СКО), показывающее ширину распределения частиц по размеру, и доля годного порошка, то есть, доля частиц размером не более 150 мкм. Количество измеренных частиц составляло более 5000. Погрешность определения линейных размеров частиц не превышает 5%.

Исследование морфологии и структуры частиц и структуры полученного порошка проводили на сканирующем электронном микроскопе Tescan Mira, а также методом энергодисперсионного анализа с помощью спектрометра Oxford Instruments Ultim Xmax.

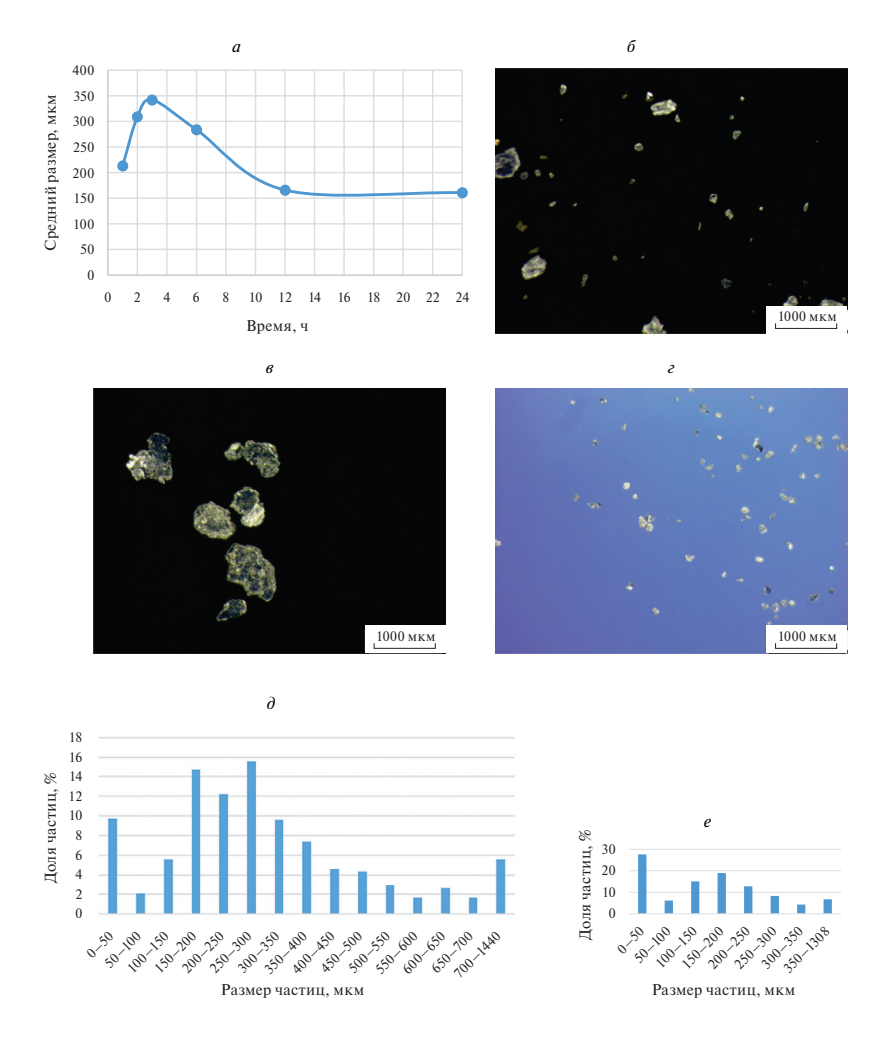
# ВЛИЯНИЕ ПАРАМЕТРОВ ОБРАБОТКИ СПЛАВА НИКАЛИН В ШАРОВОЙ МЕЛЬНИЦЕНА НА РАЗМЕР, ФОРМУ И СТРУКТУРУ ЧАСТИЦ ПОРОШКА

В вибрационной шаровой мельнице было получено 10 партий порошка. Исследовано влияние коэффициента К и времени помола на размерные характеристики и структуру частиц порошка. Параметры помола и отсева, средний размер частиц, фактор формы частиц и доля годного порошка представлены в табл. 1.

В результате проведенных экспериментов было установлено, что при увеличении времени помола с 1 до 24 ч наблюдается немонотонное диспергирование частиц, что наглядно показано на графике изменения среднего размера частиц от продолжительности помола (рис. 1*a*). После 1 ч размола средний размер частиц порошка составляет 213 мкм (рис. 1*b*), затем после 2—3 ч происходит укрупнение частиц за счет их агломерации до 309 мкм (рис. 1*b*), а далее после 12 ч агломераты разбиваются и измельчаются до среднего размера 166 мкм. При дальнейшем увеличении времени

**Таблица 1.** Параметры экспериментов по диспергированию сплава никалин в вибрационной шаровой мельнице и размерные характеристики частиц порошка

Номер партии	Время помола, ч	K	Просеивание	Средний размер, мкм	Фактор формы	Доля годного порошка, %
1	1	1/65	_	213	1.6	60
2	2	1/65	_	309	2.7	17
3	3	1/65	_	342	2.0	25
4	6	1/65	_	284	2.0	8
5	12	1/65	_	166	2.2	46
6	24	1/65	_	161	1.3	49
7	24	1/45	_	148	1.4	52
8	24	1/65	Отсев на сите 100 мкм	90	1.5	93
9	24+6	1/65, 1/195	Отсев на сите 100 мкм	78	1.0	91
10	24+6	1/65, 1/195	С финальным просеиванием <100 мкм	77	1.2	97



**Рис. 1.** Зависимость среднего размера частиц от времени помола (a), их морфология ( $\delta$ – $\epsilon$ ) и гранулометрический состав ( $\partial$ , e): 1 ( $\partial$ ), 2 (e), 24 ( $\epsilon$ , e), 12 ч ( $\partial$ ).

помола с 12 до 24 ч средний размер частиц порошка не меняется и составляет 161 мкм (рис. 12).

Увеличение времени помола также существенно влияет на гранулометрический состав исследованных проб (рис.  $1 \partial$  и 1 e). Так  $\mathrm{CKO}_{1 \, \mathrm{vac}} = 252.3 \, \mathrm{мкм}$ ,  $\mathrm{CKO}_{12 \, \mathrm{vacos}} = 81.2 \, \mathrm{мкм}$  (рис.  $1 \partial$ ). При  $24 \, \mathrm{v}$  обработки  $\mathrm{CKO}_{24 \, \mathrm{vaca}} = 119 \, \mathrm{мкм}$  (рис. 1 e). Доля годного порошка при  $\mathrm{K} = 1/65$  повышается с 17% при  $2 \, \mathrm{v}$  обработки до 49% после  $24 \, \mathrm{v}$ .

Кроме того, время помола изменяет морфологию и фактор формы частиц. При времени помола 12 ч и менее формируются плоские вытянутые частицы, и только при 24 ч помола фактор формы частиц приближается к 1 и составляет 1.3-1.4. Увеличение коэффициента K до 1/45, то есть увеличение массы закладываемой в ступку стружки не приводит к существенному изменению гранулометрического состава порошка и не улучшает форму частиц (табл. 1).

С целью получить фракцию порошка меньшего размера, после обработки в шаровой мельнице в течение 24 ч был произведен отсев порошка на сите с размером ячейки 100 мкм. После отсева средний размера частиц составил 90 мкм, а доля годного порошка возросла до 93%. Для оценки возможности дальнейшего измельчения порошка, используя промежуточное просеивание и увеличение времени помола, эту партию порошка дополнительно обработали в шаровой мельнице еще в течение 6 часов. При обработке изменили коэффициент с K=1/65до K = 1/195. В результате такой комплексной обработки были получены плоские равноосные частицы порошка, фактор формы составил 1.0, при этом средний размер частиц уменьшился до 78 мкм. В качестве финальной операции, для избавления от крупных конгломератов частиц (рис. 2a) сплава использовали просеивание на сите с ячейкой 100 мкм.

Данная процедура повлияла на долю годного порошка, которая составила 97% (рис. 26).

На основании проведенных экспериментов, для последующей плазменной обработки с целью формообразования частиц порошка, был выбран следующий режим диспергирования стружки сплава в вибрационной шаровой мельнице: помол в течение 24 часов при K=1/65. При данном режиме получена партия порошка со следующими размерными характеристиками средний размер частиц 148 мкм толщиной 118 мкм, фактор формы 1.3.

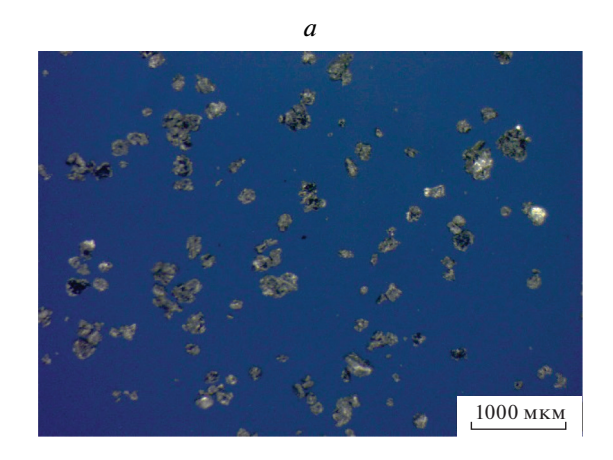
На рис. 3 показаны частицы порошка из опытной партии, предназначенной для плазменной обработки. Как видно, частицы имеют компактную осколочную форму с развитой поверхностью (рис. 3a). На фоне алюминиевой матрицы видны лисперсные частины интерметаллилов (рис. 36). которые по данным энергодисперсионного анализа содержат никель и железо (рис. 2в и 2г). Учитывая результаты исследования структуры никалина подробно описанные в работе [19], можно считать, что это дисперсные эвтектические алюминиды Al<sub>0</sub>FeNi, измельченные в процессе интенсивной пластической деформации при помоле. Их размеры составляют менее 2 мкм, что в 30 раз меньше размеров алюминидов, формирующихся в литом сплаве никалин такого же состава [19].

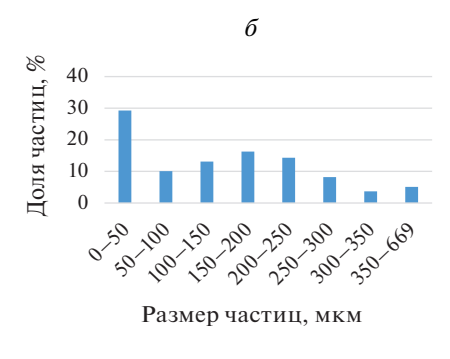
Таким образом, обработка сплава в шаровой мельнице не только диспергирует материал, но и модифицирует его структуру.

#### ВЛИЯНИЕ ПЛАЗМЕННОЙ ОБРАБОТКИ

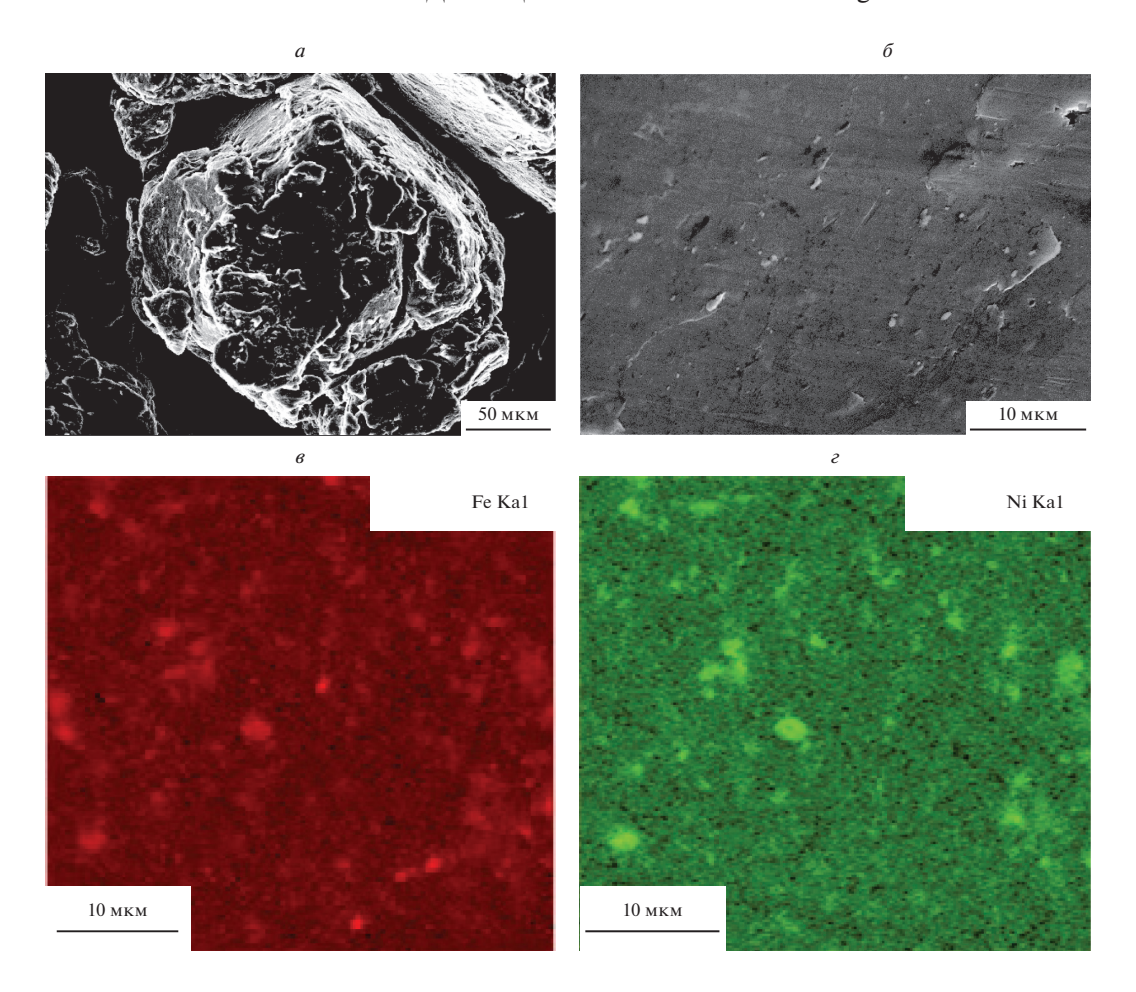
Проведено две серии экспериментов по формообразованию частиц осколочной формы после размола в шаровой мельнице.

В первой серии плазменная обработка проводилась в атмосфере аргона. Технические





**Рис.** 2. Порошок, полученный при двухступенчатом размоле 24+6 ч, и после просеивания: частицы порошка (*a*); гранулометрический состав (*б*).



**Рис.** 3. Структура частиц порошка после размола: СЭМ изображение  $(a, \delta)$ ; карты распределения химических элементов  $(a, \delta)$ .

режимы обработки: давление 0.2 МПа, ток от 120 до 140 А при постоянном напряжении 40 В. Такая плазменная обработка не повлияла на формообразование частиц порошка (рис. 4*a*). Их средний размер и доля годного порошка практически не изменились и составили: средний размер 155 мкм, доля годного порошка 47%. Однако было отмечено, что более крупные частицы (размером более 440 мкм) частично оплавлялись (рис. 4*б*). Вероятно, мелкие частицы опытной партии порошка после размола в шаровой мельнице недостаточное время находятся под влиянием высокой температуры плазмы и разносятся в процессе обработки к стенкам камеры, не достигая температуры плавления.

Вторая партия порошка получена в эксперименте с плазмообразующей смесью воздуха и пропана и такими же техническими характеристиками. В процессе такой плазменной обработки формируются частицы неправильной формы с гладкой поверхностью (рис. 4в). Удалось достичь частичной сфероидизации частиц порошка (рис. 4г), доля сферических частиц составляет 12%. Плазменная обработка практически

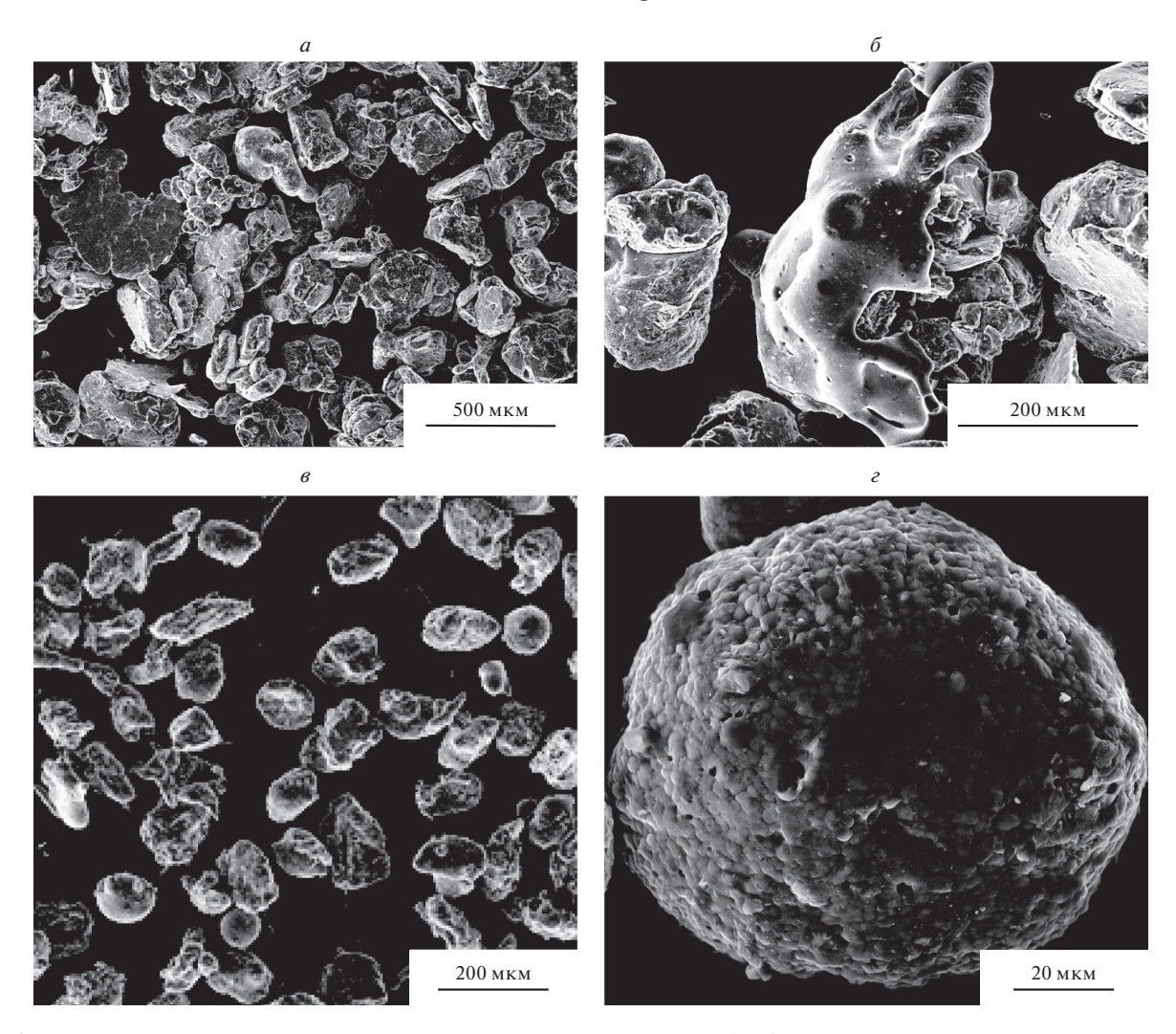
не изменила размерные характеристики частиц порошка (табл. 2) и их гранулометрический состав.

После плазменной обработки, для отделения крупной фракции порошок просеивали на сите с размером ячейки 100 мкм, в результате данной операции получили порошок со средним размером частиц 100 мкм, долей годного порошка 85% и долей сферических частиц 20%.

#### ЗАКЛЮЧЕНИЕ

Для получения порошковых композиций из высокопрочного алюминиевого сплава никалин, пригодного для синтеза деталей сложной формы методом селективного лазерного плавления, предложен и апробирован комплексный метод, сочетающий в себе диспергирование стружки сплава в шаровой мельнице и последующую плазменную обработку для предания частицам сферической формы.

Исследовано влияние времени помола и соотношения массы мелющих шаров к массе загружаемой стружки из сплава никалин на процесс



**Рис. 4.** СЭМ изображения частиц после плазменной обработки в: аргоне  $(a, \delta)$ ; смеси воздуха и пропана  $(s, \epsilon)$ .

**Таблица 2.** Сравнение параметров порошка после размола в шаровой мельнице и формообразования при плазменной обработке в эксперименте с плазмообразующей смесью воздуха и пропана

Параметр	После шаровой мельницы	После плазмен- ной обработки	После плазменной обработки и просеивания
Средний размер, мкм	148	157	100
Фактор формы	1.3	1.3	1.2
Доля годного порошка, %	49	43	85
Максималь- ный размер частиц, мкм	440	416	250

измельчения материала в вибрационной шаровой мельнице. При помоле менее 12 ч формируются плоские частицы и только после 24 ч обработки компактные частицы осколочной формы имеют средний размер 150 мкм. Доля частиц порошка с размером менее 150 мкм повышается с 17% при 2 ч обработки до 49% после 24 ч.

Комбинация процессов размола и просеивания порошка привела к улучшению его размерных характеристик и увеличению доли годного порошка. Удалось получить порошок со следующими размерными характеристиками: средний размер частиц уменьшился до 77 мкм при факторе формы — 1.2, а доля частиц размером менее 150 мкм составила 97%.

Проведено сравнение состава газовой среды при одних и тех же характеристиках плазменной обработки и показано, что замена чистого аргона на смесь пропана с воздухом дала положительный результат. Был получен порошок, состоящий из частиц округлой и сферической формы среднего

размера 100 мкм. Доля частиц сферической фор- 7. Демченко А.И., Андрейко А.И., Максимов А.А. // мы составила 20%.

Работа выполнена в рамках темы государственного задания Минобрнауки России № 122021000033-2 «Разработка новых эффективных технологий получения и обработки материалов с высокими функциональными и конструкционными свойствами на основе изучения структурно-фазовых превращений в металлических сплавах», шифр «Структура».

Электронно-микроскопические исследования выполнены с использованием оборудования ЦКП «Испытательный центр нанотехнологий и перспективных материалов» ИФМ УрО РАН.

#### СПИСОК ЛИТЕРАТУРЫ

- 1. Манн В.Х., Крохин А.Ю., Вахромов Р.О. и др. Алюминиевый сплав для аддитивных технологий. Патент № WO2019/226063. 2019.
- 2. *Балякин А.В., Гончаров Е.С., Злобин Е.П. //* Матер. междунар. науч.-техн. конф. им. Н.Д. Кузнецова «Перспективы развития двигателестроения»: Самара, 2023. С. 289.
- 3. Каблов Е.Н. // Интеллект и технологии. 2015. № 2(11). C. 52.
- Литвинцев А.И. // Технология легких сплавов. 2015. № 4. C. 25.
- 5. *Рябов Д.К.*, Зайцев Д.В., Дынин Н.В. и др. // Труды ВИАМ. 2016. № 9. С. 20.
- 6. Qilin G. // Addit. Manuf. 2020. V. 31. P. 1.

- Матер. VII междунар. конф. Аддитивные технологии: настоящее и будущее (Москва, 2021). С. 265.
- 8. Григорьев А.В., Разумов Н.Г., Попович А.А. // Металл. и материаловед. 2017. Т. 23. № 4. С. 247.
- 9. Judge W., Kipouros G. Encyclopedia of aluminum and its alloys. Taylor&Francis, 2018. 1977 p.
- 10. Кашапов Р.Н., Кашапов Н.Ф., Кашапов Л.Н. // Изв. вузов. 2017. Т. 4. № 10. С. 102.
- 11. Салокеева А.Р., Ермаков Б.С. // Легкие сплавы. 2016. № 4. C. 1.
- 12. Калайда Т.А., Кирсанкин А.А., Каплан М.А. и др. // Усп. химии и хим. технол. 2019. Т. 23. № 3. С. 31.
- 13. Чернетский А.В. Введение в физику плазмы. М.: Атомиздат, 1969. 303 с.
- 14. Поболь И.Л., Бакиновский А.А., Степанкова М.К. *и др.* // Литье и металлургия. 2018. № 4. С. 133.
- 15. Караваев А.К., Пучков Ю.А. // Вестн. Моск. гос. тех. ун-та им. Н.Э. Баумана. Сер. машиностр. 2020. № 5. C. 71.
- 16. Минаев Н.В., Демина Т.С., Минаева С.А. и др. // Изв. РАН. Сер. физ. 2020. Т. 84. № 11. С. 1530; Minaev N.V., Demina T.S., Minaeva S.A. et al. // Bull. Russ. Acad. Sci. Phys. 2020. V. 84. No. 11. P. 1315.
- 17. Вознесенская А.А., Кочуев Д.А., Разносчиков А.С. и др. // Изв. РАН. Сер. физ. 2020. Т. 84. № 3. С. 439; Voznesenskava A.A., Kochuev D.A., Raznoschikov A.S. et al. // Bull. Russ. Acad. Sci. Phys. 2020. V. 84. No. 3. P. 339.
- 18. Белов Н.А. // Технол. легких сплавов. 2010. № 4. С. 7.
- 19. Петрова А.Н., Бродова И.Г., Разоренов С.В. и др. // Физ. металл. и металловед. 2019. Т. 120. № 12. С. 1.

### Plasma spheroidization of Al-Zn-Mg-Fe-Ni alloy powders for selective laser fusion

A. O. Kuryshev<sup>1</sup>, \*, A. N. Petrova<sup>1</sup>, I. G. Brodova<sup>1</sup>, D. Y. Rasposienko<sup>1</sup>, V. V. Astafiev<sup>1</sup>, I. G. Shirinkina<sup>1</sup>, S. I. Novikov<sup>1</sup>, S. A. Ilyinyh<sup>2</sup>

> <sup>1</sup>M.N. Mikheev Institute of Metal Physics of the Ural Branch of the Russian Academy of Sciences, Yekaterinburg, 620137, Russia <sup>2</sup>Institute of Metallurgy of the Ural Branch of the Russian Academy of Sciences, Yekaterinburg, 620016, Russia \*e-mail: kurvshev61912@gmail.com

The influence of the technological parameters of a complex method for obtaining a powder for 3D printing of a new aluminum alloy Nikalin in the process of dispersion in a ball mill with subsequent spheroidization of particles during plasma processing is investigated.

**Keywords:** mechanical dispersion, plasma spheroidization, aluminum alloys, nicalin, additive technologies